ISSN 1991-8690

الترقيم الدولي ١٩٩١ ـ ١٩٩١

السيطرة على حركيات خرج ليزر النقطة الكمية InAs/InGaAs بطول موجي 1.3µm: التأخير الزمني ، زمن السيطرة على حركيات خرج ليزر النقطة الكمية

ضياء صيوان بريسم قسم الفيزياء _ كلية التربية للعلوم الصرفة _ جامعة البصرة _ البصرة / العراق

الخلاصة:

تم دراسة تأثير بعض عوامل السيطرة لمنظومة ليزر النقطة الكمية InAs/InGaAs بطول موجي InAs/InGaAs من ضمن العوامل التي شملتها الدراسة : معامل الانبعاث التلقائي، عامل الخسارة، كثافة تيار الحقن، و كثافة النقاط الكمية وتأثير هذه العوامل على استقراريه الحالة المستقرة steady الدراسة : معامل الانبعاث التلقائي، عامل الخسارة، كثافة تيار الحقن، و كثافة النقاط الكمية وتأثير هذه العوامل على استقراريه الحالة المستقرة (state) لليزر QD . اضافة الى ملاحظة تأثير نسبة الضخ على التأخير الزمني (delay time) وزمن النهوض (oscillation region time) ونسبة عدد الفوتونات.

الكلمات المفتاحية: ليزر النقطة الكمية ، ليزر InAs/InGaAs ، التأخير الزمني ، زمن الوصول ، زمن التذبذب

control Dynamical times of Quantum Dot laser InAs / InGaAs output at wavelength 1.3 µm: delay, rise and oscillation

Dhia Saiwan

Ra'ed M. Hassan

Department of Physics. College of Education for Pure Science-University of Basrah- Basrah/ IRAQ

Abstract:

We studied some control parameters effect of quantum dot laser InAs / InGaAs system at wavelength of $1.3 \mu m$. The study taken such as the parameters: spontaneous emission coefficient, loss factor, injection current density, and the density of quantum dots on stabilizing the steady state. In addition, we studied the effect of the impact of pumping on the proportion of time-delay, rise time, oscillation time and the ratio of photons number.

Key words: Quantum dot laser, InAs / InGaAs laser, Delay time, Rise time, Oscillation time

نقل البيانات بسرعة عالية يتطلب اجهزة غير حساسة لدرجة الحرارة، من ناحية اخرى فأن الليزرات العاملة عند الطولبين الموجيين 1.3 µm المحتى الاطوال الموجية ان المدى الواسع من الاطوال الموجية ان احد اسباب هذا التميز والذي يمكن ان يعد السبب الرئيس هي درجة الاقتران الكبيرة ما بين هذين الطولبين الموجيين والألياف البصرية المستخدمة حاليا في منظومات الاتصالات البصرية مما يؤدي الى انخفاض خسائر التشتت لشعاع الليزر داخل الليف البصري الى حدها الأدنى مما يرفع كفأه مرور شعاع الليزر الى حدها الاعلى [2] . ان الليزر قيد الدراسة هنا هو ليزر النقطة الكمية InAs/InGaAs ، فسلوك الليزر يمكن ان يوصف بمعادلات نسبية لتعداد الحاملات في فسلوك الليزر يمكن ان يوصف بمعادلات نسبية لتعداد الحاملات في

المقدمة:

أدى ظهور الجيل الاخير من ليزرات أشباه الموصلات Semiconductor Lasers المصادر الضوئية والاختزال الهائل الذي أحدثته في منظومات الاتصالات البصرية التي توظف هذه الليزرات كمصادر لحمل البيانات والمعلومات ومع التقدم الكبير الذي طرا على تقنيات تصنيع التراكيب المتعددة والدقيقة فأن ليزرات النقطة الكمية Quantum Dot أخذت الاهتمام الاكبر وفضلت على ليزرات البئر الكمي (QDL) لعنبة، الكمي ورجة الحرارة، الفوضوية (chaos) و التغذية المرتدة [1]. ان

(SCH) Separate Confinement Heterostructure [5,4,3] ومعادلة واحدة للفوتونات الناتجة من الانبعاث المحفز. النموذج قيد الدراسة يدمج الحسابات المايكروسكوبية لنسب الأستطارة (حامل - حامل) والتي تعتمد على كل من كثافة الالكترون والفجوة [6] والتي تتفاوت مع تيار الضخ . ان معادلات المنسوب Rate Equations مع المعاملات الثابتة مستندة اساسا على اطياف الليزر التجريبية والتي تظهر زيادة في عرض خط الليزر مع زيادة تيار الضخ حيث تم دمج درجة الحرارة في المعادلات التي تزداد بزيادة تيار الضخ [7]. اضافة الى هذا فأن هناك عدد من المعاملات والتي تسمى بمعاملات النظام لها تأثيرات مختلفة على معدلات الاستطارة غير (WL) wetting layer الخطية لكثافة الحاملات في الطبقة الرطبة ,ومنطقة النقط الكمية (QDs). اغلب النتائج المعطاة ركزت على كثافة الفوتون كذلك فأنه تم اختصار نسب الاستطارة الغير خطية في المعادلات النسبية في ليزر النقطة الكمية لأن نظرية تذبذبات الاسترخاء اساسا هي مستندة على نظرية مجهرية [6] و بالتالي نستطيع مناقشة تأثير المعاملات المختلفة على انتاج الليزر.

النموذج النظري:

نستطيع استخدام مجموعة من المعادلات النسبية التفاضلية لوصف التطور الزمني للخصائص لمايكروية لتجويف الليزر مثل التعداد واستقطاب QDs [9,8] . ان هذه المعادلات تم اشتقاقها من معظم نماذج ليزر أشباه الموصلات (SLs) او ما يعرف بنظرية QD معظم نماذج ليزر أشباه الموصلات (SLs) او ما يعرف بنظرية [10] والتي تدمج الديناميكيا الكهربائية الكلاسيكية التي تحدث ضمن الليزر بالإضافة الى ميكانيك الكم [11] . فإذا اخذنا نظام بمستويين في QDs للإلكترونات والفجوات حيث ان الإلكترونات في البداية تحقن في WL قبل اسرها بواسطة QDs ولأن كثافة للسر من عملية فأن عملية استرخاء الحاملات اسرع بكثير من عمليات الأسر من WL في QDs الشحنة في ADs وكثافة الحاملات في (n_h, n_e) QDs الشحنة في QDs وكثافة الحاملات في (n_h, n_e) QDs وكثافة الحاملات في (n_h, n_e) QDs وكثافة الحاملات في (n_h, n_e) QDs

ان العمليات الناتجة عن الامتصاص والانبعاث معطاة بواسطة الربح الخطي

حيث ان N^{QD} هي كثافة QD حيث يؤخذ في الحسبان انحلال البرم وهي ليست ثابتة وانما تزداد بزيادة تيار الضخ لتزايد الانماط الطولية في ناتج الليزر وتعطى بالعلاقة [7]

حيث ان W هو معامل أينشتاين و Γ عامل الحصر البصري وهو ناتج من عامل الحصر الهندسي (النسبة بين حجم كل QDS وحجم النمط) β , [7]، β معامل الانبعاث التلقائي β , عامل الخسارة والذي يعبر عن الخسارة الكلية للتجويف [13] ,ويعطى كقيمة ثابتة ، β هو كثافة تيار الحقن و β عنصر الشحنة، β هو كفاءة الحقن والتي تحسب لكون أننا لا نستطيع أن نحقن اي زيادة حاملات عندما يكون β ممتلئ (β γ المقرب γ γ و γ γ و γ التلقائي المقرب γ المقرب γ و γ الخسائر طبقا γ و γ الحاملات في γ و γ و γ و العلاقة, γ العلاقة, γ العرب واسطة الى خسارة الحاملات في γ وتعطى بالعلاقة, γ

اما فيما يخص الاستطارة فهناك انواع عديدة من الاستطارة غير الخطية وقد تم التركيز على أربعة انواع , اثنان للأستطارة الداخلية غير الخطية والاخرى للأستطارة الخارجية غير الخطية هذة العمليات تلعب دورا اساسيا في ديناميكيات ليزرالنقطة الكمية والتي تتضمن الالكترونات والفجوات في كل من نسبتي الأستطارة الداخلية للإلكترون والفجوة تعطى بالعلاقات التالية [7]

$$S_e^{in} = \frac{9 T + KT_0}{3000 K} \left[\tanh(a w_e - b) + c \right] (m w_e^2 + n w_e)$$

$$S_h^{in} = \frac{0.75 T + KT_0}{525K} \left[\tanh(a w_h - b) + c \right] (n w_h)$$

أما الاستطارة الخارجية فهي مرتبطة باالاستطارة الداخلية وتعطى بالعلاقات العلاقات الاتية:

$$S_e^{out} = S_e^{in} \exp(\frac{-210 \, mev}{26 \, mev} - \ln[\exp\left(\frac{w_e}{4.7 \times 10^{11} cm^{-2}}\right) - 1.8)$$

$$S_h^{out} = S_h^{in} \exp(\frac{-50 \, mev}{26 \, mev} - \, \ln[\exp\left(\frac{w_e}{48 \times 10^{11} cm^{-2}}\right) - \, 1.8$$

نسب الاستطارة تعتمد على درجة حرارة الحاملات داخل QW والتي تكون متغيرة . ان $\Delta T = 60~{\rm K}$ عندما يكون تيار الضخ $\Delta T = 60~{\rm K}$ تكون متغيرة . ان هناك علاقة ما بين كثافة التيار ودرجة الحرارة $w_e \propto \sqrt{j} \quad \text{we} \ \Delta T(j) \propto j^2$ الضخ حيث $\Delta T(w_e) \propto (w_e)^4$ لذا فأن $\Delta T(w_e) \propto (w_e)^4$ الضخ حيث $\Delta T(w_e) \propto (w_e)^4$

T=300 K+0.245×10¹²
$$nm^8(w_e)^4$$
......(9)

ان نسب الاستطارة اعلاه تزداد بزيادة كثافة حاملات QW لأن هناك المزيد من الاستطارة المشتركة المتاحة ولكن عندما تكون كثافة QW عالية فأن احتمالية الاستطارة الخارجية تقل بسبب مبدأ الاستبعاد لباولي [15] لأنه يؤثر على الالكترونات بصورة أسرع.

النتائج والمناقشة:

الدراسة الحالية تعتمد على حلول عددية لنظام المعادلات (5-1) بأستخدام برنامج Mathematica .نتائجنا النظرية للخصائص الديناميكية لليزر النقطة الكمي InAs/InGaAs QD فوق العتبة بطول موجى 1.3 µm فمن المعلوم ان هناك علاقة ما بين معامل

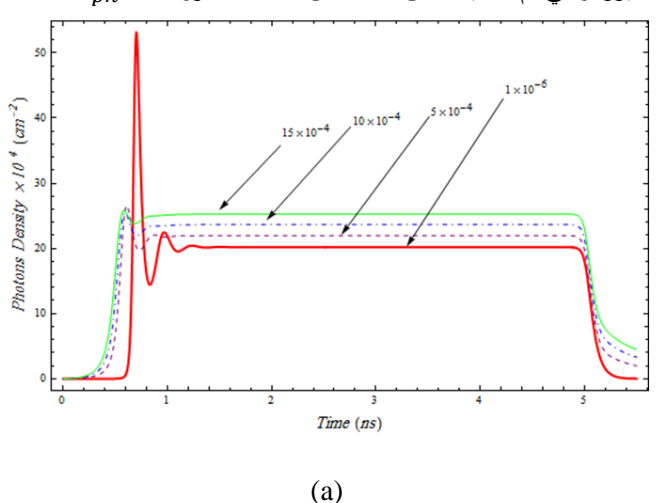
الانبعاث التلقائي (β) وكثافة الفوتونات حيث أن (β) يتحكم في اضمحلال عمليات التشغيل [1] فيلاحظ ان فترة تذبذب الاسترخاء في منطقة الحوادث اللحظية تكون طويلة نسبيا عندما تكون β ذو قيمة . ((a) 1) كما في الشكل β مع زيادة β كما في الشكل كما يلاحظ ان العلاقة هي خطية بين المجال ومعامل الانبعاث التلقائي كما يظهر في الشكل (b)1) .اما من خلال دراسة تأثير اخر على المجال من قبل معامل أنشتاين W حيث يكون التأثير المباشر لمعامل أينشتاين هو خطى على R_{SP} و R_{SP} والتي تم تظمينها في المعادلات (1-5) كما أن تأثيره واضح على تشغيل ديناميكيات ليزر النقطة الكمية InAs/InGaAs حيث ان الزيادة تظهر في خرج الليزر عندما W=0.9. أضافه الى هذا فأنه يؤثر على زمن التأخير والذي يزداد بزيادته كما في الشكل (a)2) . الشكل (b)2)) يوضح تأثير دقيق لمعامل أينشتاين على خصائص ليزر النقطة الكمية InAs/InGaAs حيث يلاحظ انه مع زيادة هذا العامل تزداد شدة المجال سريعا حتى الوصول الى اقصىي قيمتها عند مقدار , W=0.665 بعدها يهبط المجال مع زيادة معامل أينشتاين بشكل شبة خطي كما مبين في الشكل (b)2)). في ليزر النقطة الكمية يكون دائما التعامل مع طبقات من النقاط الكمية المكدسة لذا فأن العامل كثافة النقاط الكمية) لة تأثير واضح حيث ان N^{QD} له دور N^{QD} مهم في تحديد مقدار الربح التفاضلي للمنظومة و بالتالي يؤثر في مقدار الربح الكلى للوسط الفعال . نلاحظ من خلال الشكل ((a)3) ان زيادة N^{QD} تؤدى الى زيادة كثافة الفوتونات المنبعثة ونقصان زمن التأخير (Delay time) شكل ((3(b)) يوضح التأثير شبة الخطى لـ على كثافة الفوتونات . عند كثافات عالية من QW فأن N^{QD} عمليات استرخاء الناقل سريعة جدا حوالي (Ps) من عمليات الأسر [7] ان زیادة NQW تؤدي الى زیادة خرج اللیزر الى مستوى معین ثم. تحصل حالة استقرار بسبب وجود العامل $(\tau = 1 - \frac{we}{NQW})$ حيث تكون كذلك فأن نسب الأستطارة تزداد (a) 4) كذلك فأن نسب الأستطارة تزداد $w_e = N^{QW}$ بزيادة حاملات QW لأن هناك استطارة مشتركة متوفرة بصورة اكثر بسبب مبدئ استبعاد باولى وهذا ما يوضحه الشكل (b)4)). كما أن الكثافة الفعالة لحالات QW وعدد النقاط الكمية N^{QD} تزداد مع زيادة المساحة والأنبعاثات التلقائية التي يسيطر عليها التهيج في QD من أنظر المعادلة (6)). نظرا لأن عمليات التحفيز $R_{sp}(n_e,n_h)$ الناتجة من الانبعاث والامتصاص تعتمد على مساحة A) QW ، لذلك فأنها تحسن من خصائص الإخراج التي تحدث في QDL) Quantum

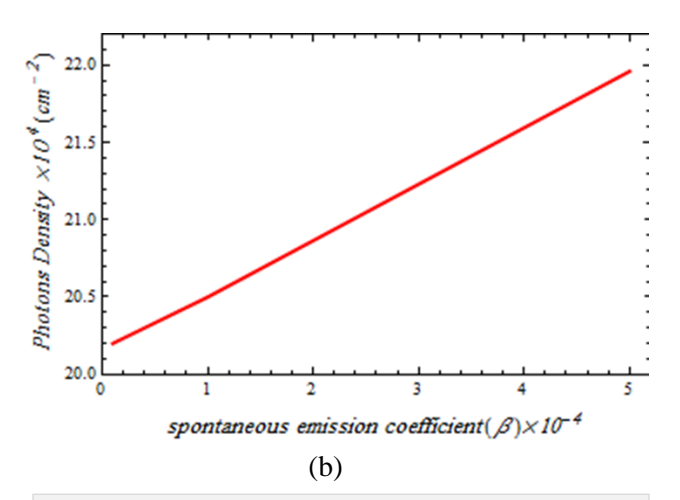
Dot Laser) وهذا واضح في شكل (5 (a))، كما أن خرج QDL يزداد بزيادة مساحة QW (A) ونقصان زمن التأخير (أنظر الشكل (a)5) و (b))} .أن نسبة الضخ تلعب دورا أساسيا في تحديد خصائص oscillation مثل المجال وزمن التأخير وزمن منطقة التنبذب QDL (region time) حيث أنه فوق العتبة نجد ان هناك علاقة خطية ما بين نسبة الضخ وعدد الفوتونات وهو ما يظهر في شكل (a) 6)) الذي يبين خرج الليزر لتيارات ضخ مختلفة تعطى بوحدات عتبة الليزر التي تم تحديدها من خصائص الحالة المدروسة (n_{ph}). كذلك فأن زمن النهوض (Rise time) يأخذ تتاقص لوغاريتمي بزيادة نسبة الضخ كما في الشكل (b)6)) وهذه الحالة مشابهة لسلوك زمن التأخير (Delay time) الوقت الازم للوصول الى عتبة الليزر كما في الشكل (c) 6)). تذبذبات منطقة الاسترخاء تتناقص بزيادة تيار الضخ وهذا واضح يظهر من خلال الشكل (b) (d).أن معامل الخسارة K يلعب دورا اساسيا في تحديد خرج الليزر والذي ينتج من خسارة الحاملات الحرة في طبقات الحصر او في QW حيث أن موجة الليزر يمكن أن تظهر (blue shift) [16] مع زيادة الخسائر البصرية والتي تحدث بزيادة طول التجويف والذي يؤدي بدورة الى نقصان خرج الليزر وهذا ما يمكن ملاحظته في الشكل (a)7) حيث نلاحظ أن زيادة عامل الخسارة (K) يؤدي الى نقصان خرج الليزر وزيادة التأخير الزمنى . كما أن الشكل (b)7) يصف قياس خرج الليزر لقيم مختلفة من (K).

الاستنتاجات:

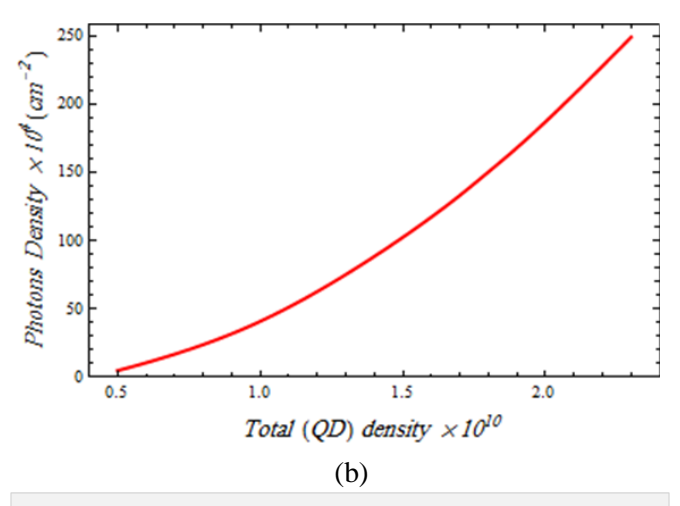
النتائج النظرية الواردة في هذا العمل تعطي فهم لتأثير معاملات عديدة على حركيات ليزر النقطة الكمية InAs/InGaAs الذي يعمل بطول موجي 1.3μ m وبدرجة حرارة الغرفة حيث أن حركيات بدء التشغيل تم تحليلها لمدى واسع لمختلف معاملات السيطرة وقد وجدنا أن كل معامل من هذه المعاملات له تأثير مباشر قد يكون خطي او العكس. للوصول الى الحالة المثلى في عمل ليزر InAs/InGaAs وذلك ببلوغ الحالة المستقرة سريعا لابد من العمل على تقليل زمن وذلك ببلوغ الحالة المستقرة سريعا لابد من العمل على تقليل زمن التأخير وزمن الوصول وزمن التنبذب. فمن العديد من المعاملات التي تلعب دورا في ليزر النقطة الكمية لاحظنا ان كثافة النقاط الكمية N^{QD} مساحة N^{QD} تؤدي الى زيادة خرج الليزر ونقصان زمن التأخير. ان عامل الخسارة (K) يلعب دورا رئيسيا في تحديد خرج الليزر وزمن التأخير والذي يتأثر بطول التجويف .كما أن هناك علاقة خطية ما بين التأخير والذي يتأثر بطول التجويف .كما أن هناك علاقة خطية ما بين

نسبة الضغ وعدد الفوتونات لتيارات ضغ مختلفة تعطى بوحدات عتبة الليزر والتي تم تحديدها من خصائص الحالة المدروسة لـ n_{nh} .

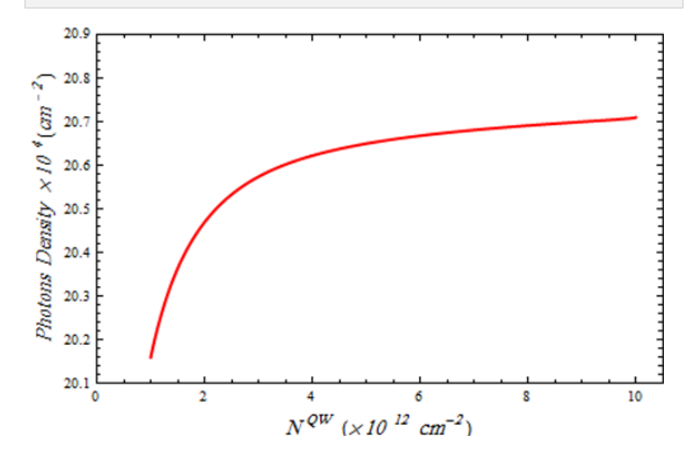


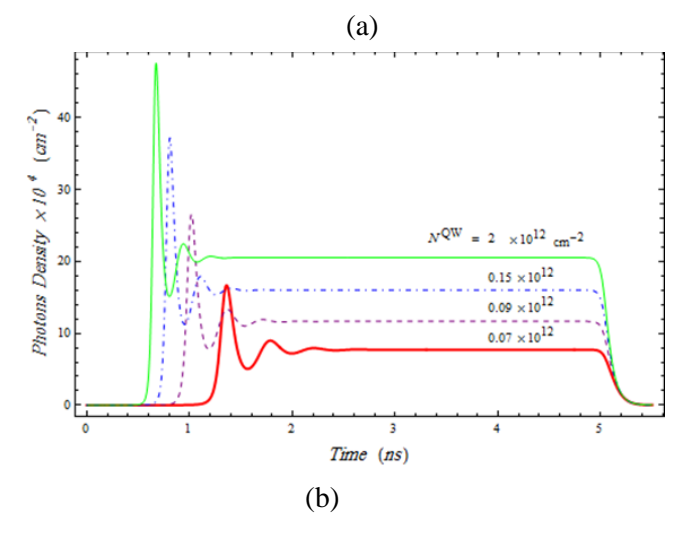


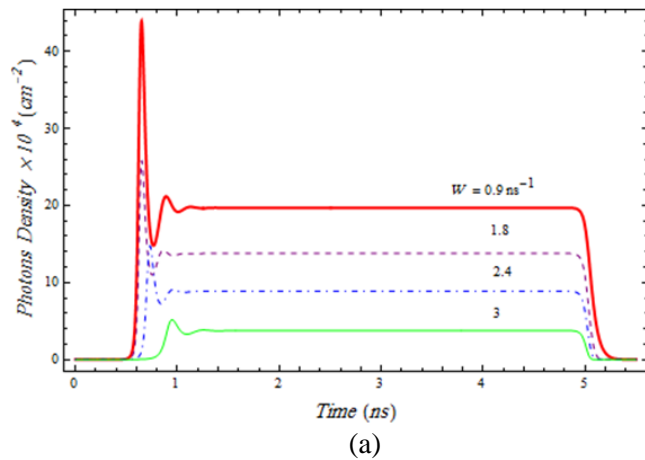
الشكل (a) : (a) يوضح حركيات بدء التشغيل لكثافة الفوتونات لنموذج الشكل (a) : (b) بوضح حركيات بدء التشغيل المعامل الانبعاث البخائي المعامل الانبعاث التلقائي (b) ، β = $(1,5,10,15) \times 10^{-6}$ التلقائي (β) نيوضىح تغير كثافة الكمية الفوتونات مع معامل الانبعاث التلقائي (β) في ليزر النقطة الكمية (β) : InAs/InGaAs (β) : InAs/InGaAs (β) : (β) :

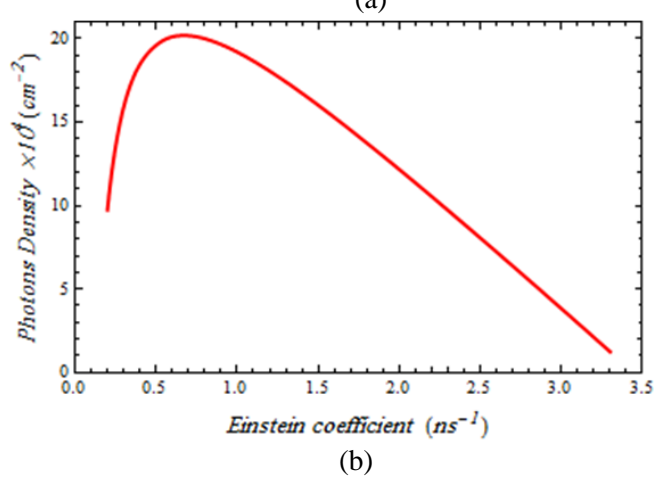


الشكل $^{\circ}$: (a) يوضح حركيات بدء التشغيل لكثافة الفوتونات لنموذ اليزر النقطة الكمية InAs/InGaAs لقيم مختلفة لكثافة النقاط الكمية (b) $(N^{QD}=0.8, 1.2, 1.5, 1.75)$ كثافة النقاط الكمية $(N^{QD}=0.8, 1.2, 1.5, 1.75)$ المعاملات الأخرى المستخدمة كما في شكل $^{\circ}$

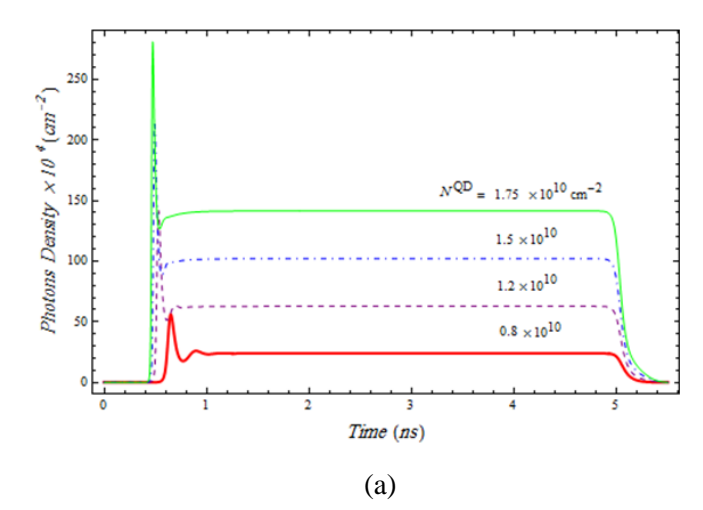


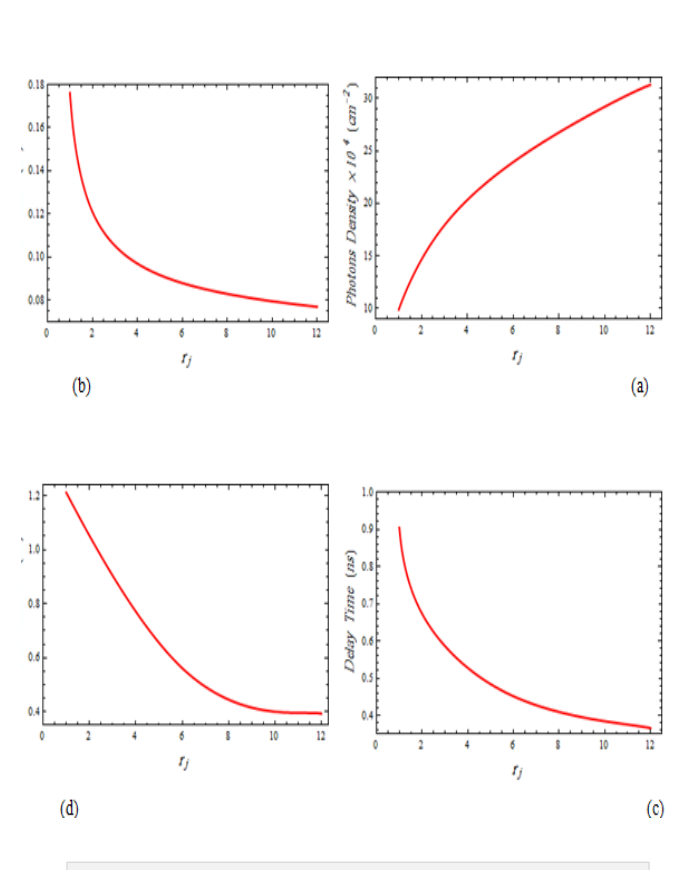




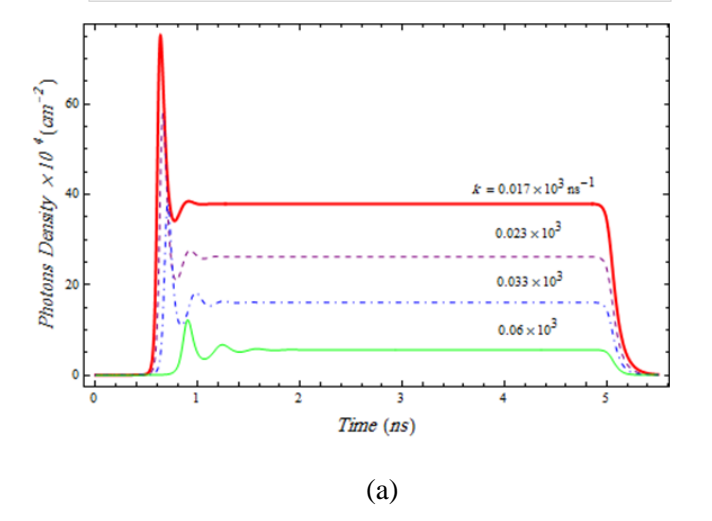


الشكل ۲ :(a) يوضح حركيات بدء التشغيل لكثافة الفوتونات لنموذج ليزر النقطة الكمية InAs/InGaAs لقيم مختلفة لمعامل أنشتاين (W=0.9,1.8,2.4,3)، (d) يوضح تغير كثافة الفوتونات مع معامل أنشتاين (w) في ليزر النقطة الكمية InAs/InGaAs. المعاملات الأخرى المستخدمة كما في شكل ١

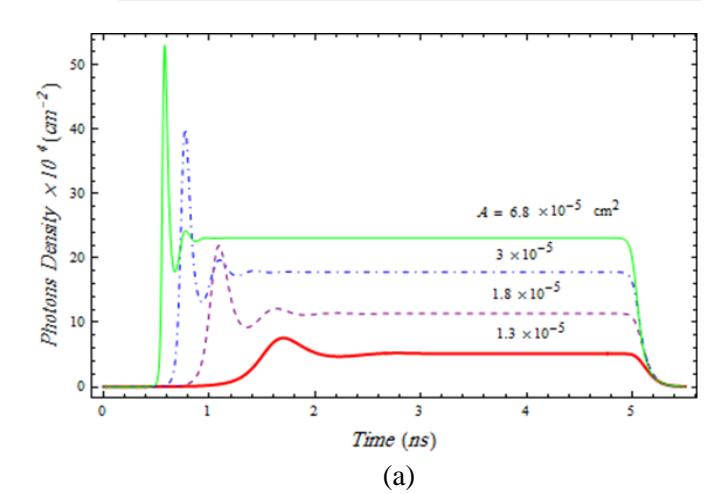


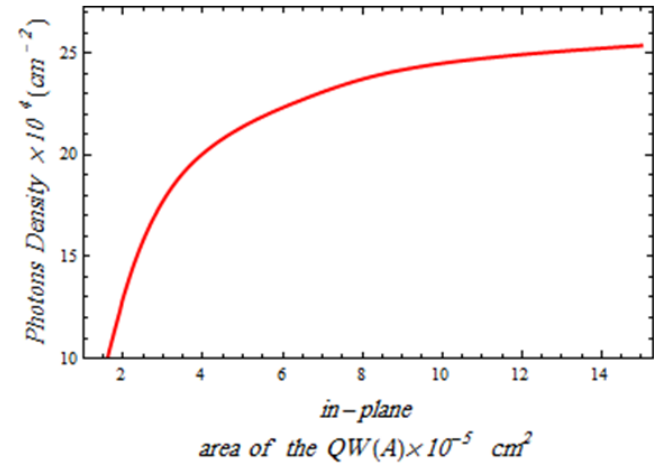


الشكل 7: يوضح خصائص حركيات الخرج لنموذج ليزر النقطة الكمية InAs/InGaAs بطول موجى □ 1.3 كدالة الى نسبة الضخ: (a) أستقرارية المجال، (b) زمن الوصول، (c) زمن التأخير، (d) زمن التذبذب



الشكل A^{Qw} يوضح تغير كثافة الفوتونات مع كثافة N^{Qw} في ليزر النقطة الكمية b)، InAs/InGaAs) يوضح حركيات بدء التشغيل لكثافة الفوتونات لنموذج ليزر النقطة الكمية N^{QW} = 0.07 , 0.09,) لقيم مختلفة من InAs/InGaAs (0.15, 2)





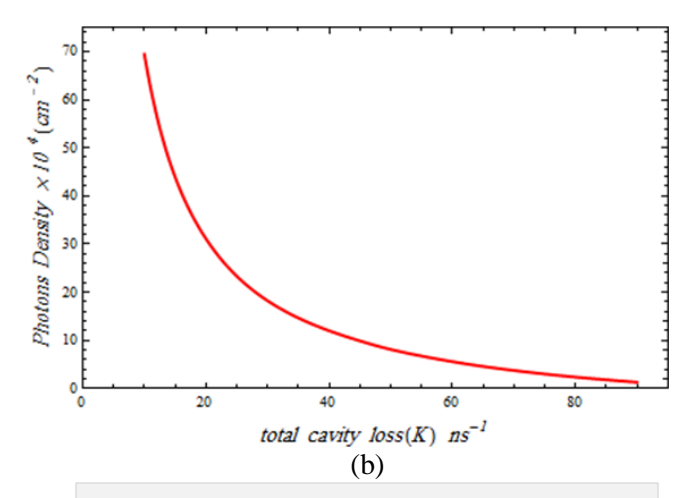
(b)

الشكل ٥: (a) يوضح حركيات بدء التشغيل لكثافة الفوتونات لنموذج ليزر النقطة الكمية InAs/InGaAs لقيم مختلفة من (b) ،(A= 1.3 , 1.8 , 3, 6.8) يوضح تغير كثافة الفوتونات مع A في ليزر النقطة الكمية InAs/InGaAs

[7] K. Lüdge, R. Aust, G. Fiol, M. Stubenrauch, D. Arsenijevi'c, D. Bimberg, and E.Schöll. 2010, "Large signal response of semiconductor quantum-dot lasers," IEEE J. Quantum Electron., vol. 46, no. 12, pp. 1755–1762.

كانون الاول/٤ ٢٠١

- [8] T. M. Khoon . (2008), "Interfacing Light and a Single Quantum System with a Lens". PhD. thesis, Department of Physics, National University of Singapore, Singapore.
- [9] T. R. Nielsen, P. Gartner, and F. Jahnke . (2004), "Many-body theory of carrier capture and relaxation in semiconductor quantum-dot lasers". Physical Review B, 69: 235314(1-13).
- [10] P. Meystre and M. Sargent III .(2007), "Elements of Quantum Optics". ©Springer-Verlag Berlin Heidelberg.
- [11] F. Schwabl . (2000), "Advanced Quantum Mechanics". © Springer-Verlag Berlin Heidelberg, Third Edition.
- [12] R. Wetzler, A. Wacker, and E. Scho II. (2004), "Coulomb scattering with remote continuum states in quantum dot devices". Journal of Applied. Physics, 95(12): 7966 7970.
- [13] D. Bimberg, M. Grundmann, and N. N. Ledentsov. (1999), Quantum Dot Heterostructures. New York: Wiley.
- [14] K. Lüdge and E. Schöll, Nov. 2009, "Quantum-dot lasers—desynchronized nonlinear
- dynamics of electrons and holes, "IEEE J. Quantum Electron., vol. 45, no. 11, pp. 1396–1403.
- [15] C. L. TANG.(2005), "Fundamentals of Quantum Mechanics for Solid State Electronics and Optics". © Cambridge University Press.
- [16] D. Bimberg, M. Grundmann, F. Heinrichsdorff, N.N. Ledentsov, V.M. Ustinov, A.E. Zhukov, A.R. Kovsh, M.V. Maximov, Y.M. Shernyakov, B.V. Volovik, A.F. Tsatsul'nikov, P.S. Kop'ev, Zh.I. Alferov. (2000). "Quantum dot lasers: breakthrough in optoelectronics". Thin Solid Films 367: 235-249.



الشكل ۷: (a) يوضح حركيات بدء التشغيل لكثافة الفوتونات لنموذج ليزر النقطة الكمية InAs/InGaAs لقيم مختلفة من عامل الخسارة (, 0.017×10^3 , 0.023, 0.033 , (b) يوضح تغير كثافة الفوتونات مع عامل الخسارة في ليزر النقطة الكمية InAs/InGaAs

المصادر

- [1] K. Lüdge, M. J. P. Bormann, E. Malić, P. Hövel, M. Kuntz, D. Bimberg, A. Knorr, and E. Schöll. (2008), "Turn-on dynamics and modulation response in semiconductor quantum dot lasers". Physical Review B, 78: 035316(1-11).
- [2] V. M Ustinov and A .E Zhukov. 2000, semicond. Sci. Technol., Vol. 15, R 41-R 54.
- [3] M. Sugawara, May.(1998), "Effect of carrier dynamics on quantum-dot laser performance", 10th Intern. Conf. on Indium Phosphide and Related Materials, Tsukuba, Japan, 11-15.
- [4] A. H. Al-Khursan . (2005), "Intensity noise characteristics in quantum-dot lasers: four-level rate equations analysis". Journal of Luminescence, 113: 129–136.
- [5] J. Yang. (2008), "High-Performance Quantum Dot Lasers and Integrated Guided-Wave Devices on Silicon". PhD. thesis, University of Michigan, USA.
- [6] E. Mali'c, M. J. P. Bormann, P. Hovel, M. Kuntz, D. Bimberg, A. Knorr, and E. Scholl . (2007), "Coulomb damped relaxation oscillations in semiconductor quantum dot lasers". IEEE Journal of Selected Topics in Quantum Electronics, 13(5): 1242-1248.